

## 압전 박막을 이용한 air-gap type FBAR 필터 설계

정종연, 김용천, 김상종\*, 김경환, 윤석진\*, 최형욱

경원대학교 전자·전기정보공학부, KIST 박막연구센터\*

### Thin Film Bulk Acoustic Resonators(FBAR) filters design Air-gap type using piezoelectric thin film

Jung-Youn Jong, Yong-Chun Kim, Sang-Jong Kim, Kyung-Hwan Kim, Seok-Jin Yoon, Hyung-Wook Choi  
Gyeongwon Univ. KIST\*

#### Abstract

The aim of the study is to scrutinize the relationship between the area of resonance and insertion loss by analyzing the characteristics of 2-port resonator. This was done through designing an air-gap type Film Bulk Acoustic Resonator (FBAR) by using CAD model for the application of bandpass filter of high-frequency band with piezoelectric thin film. Moreover, through the design of ladder-type BPF, we were able to observe changes in bandwidth, resonance, out-of-band rejection depending on the number and area of resonator.

**Key Words :** Thin Film Bulk Acoustic Resonators, Insertion loss, Out-of-band rejection

#### 1. 서 론

전자공업의 급격한 발전과 정보화 시대에 부응하여 이동통신기기 사용의 급증은 전세계적인 추세이며, 800MHz 대역의 셀룰러 시스템과 1.8~2.1GHz 대역의 PCS 사업을 거쳐 지금은 꿈의 이동통신이라 불리는 IMT-2000 서비스를 실용화 단계에 있다. 이동통신기기의 무선 송수신 시스템을 구성하는 핵심 부품으로는 안테나, 전력증폭기, 저잡음 증폭기, 필터, 혼합기 등이 있다. 이중에서 필터는 단말기내에 가장 크고 두꺼운 부품 중에 하나로 이의 소형화가 절실히 요구되는 추세다.[1-2] FBAR(Film Bulk Acoustic Resonator)는 이러한 요구를 만족시키기 위해 전자기 공진 현상보다는 음향(또는 기계) 공진 현상을 이용한 공진기로서, 압전물질을 이용한다. 이는 압전물질 내에서의 음향 전파속도가 전자파 속도에 비해  $10^{-4}$ ~ $10^{-5}$  배 정도로 낮아 같은 주파수에서 음파의 파장이 훨씬 짧아져서 소형의 음향 공진기를 만들 수 있기 때문이다.[3] 필터의 경우 기존의 유전체 필터의 좋은 특성을 유지하면서 SAW 필터 보다 크기가 작은 우수한 성능의 필터를 구현 할 수가 있다. 이러한 공진기는 벌크 마이크로머시닝 기술을 적용 제

작하는 방법과 브레그 반사층을 이용하여 제작하는 방법이 있다. 첫째 벌크 마이크로머싱 기법중에 하나인 air-gap 방식은 Si 기판에 후면 식각을 통해 air-gap 형성하여 공진을 만드는 형태이고, 둘째, 브레그 반사층을 이용하는 방식은 음향학적 임피던스가 차이가 큰 물질을 쌓을 교대로  $\lambda/4$  두께로 만큼 증착하는 방식이다. 그러나 두 번째의 경우에는 7~9층의 반사층을 증착해야 하는 번거로움이 있다.[1]

따라서 본 연구에서는 벌크 마이크로머시닝 기법중에 하나인 air-gap type을 이용하여 Mason 등 가모델을 용용한 Leach 등가모델로 공진기를 설계하여 공진 특성을 조사한 후 이를 이용하여 필터에 적용하여 그 특성을 고찰하였다. 또한 공진기의 압전재료의 특성을 비교하기 위하여 AlN 와 ZnO 를 이용하여 FBAR를 설계해 결과값을 고찰하였다.

#### 2. 실험

##### 2.1 공진기 설계

그림 1은 air-gap type의 공진기 구조를 나타낸

것이다. 상·하부의 전극은 Pt와 Au을 각각 구성하였으며, 멤브레인층과 air층을 substrate층인 Si에 올린 형태이다. 압전재료는 AlN[5] 와 ZnO[6] 사용하여 각각의 특성을 시뮬레이션하였다.

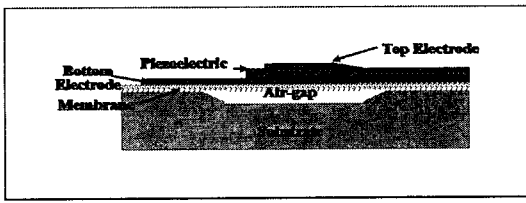


그림 1. Schematic of air-gap type FBAR.

표 1은 압전 박막에 사용되어진 중요 특성값과 변수를 나타낸 것이다. 압전물질에 따라서 하부전극 Au로 두께는  $0.2\mu\text{m}$ (Piezoelectric-ZnO)와  $0.1\mu\text{m}$ (Piezoelectric-AlN)를 사용하였고, 상부전극은 Pt로 두께는  $0.1\mu\text{m}$ 로 동일하게 설계하였다.

표 1. Material parameter used in the model.

Property	Acoustic Impedance (Mrayls)	Acoustic velocity (m/s)	Density (kg/m <sup>3</sup> )	Thickness (μm)
AlN	37.2	11040	3270	1.0
ZnO	35.9	6330	5680	1.0
Pt	69.9	3300	21500	0.1
Au	62.6	3240	19320	0.1 0.2
SiNx	20.8	6700	3100	0.2
Si	19.7	8430	2332	500

## 2.1 공진기의 등가모델 및 필터 설계

Mason 등가모델을 기계적, acoustic으로 변형시킨 Leach 등가모델을 이용하여 공진기를 구성하였다. Mason 등가회로에 사용된 transformer와 negative capacitance 대신에 Controlled-Source analogous circuits을 이용하여 등가모델을 구성함으로써 공진 주파수 근처의 특성을 효율적으로 계산을 할 수 있을 뿐만 아니라 공진기의 두께와 면적에 의한 FBAR의 특성 변화를 고찰 할 수 있다.[4] Piezoelectric material의 내부 파장에 의한 방정식을 식(1)~(4)에 나타내었다. 이를

telegrapher's 방정식을 이용하여 electrical transmission line에 V와 I로 변형하여 음향 임피던스 Z와 electrical length E, 그리고 압전재료공진 주파수인 F를 유도하여 식(5)~(12)에 나타내었다. 여기서  $v_a$  음향학적 속도,  $k_t^2$ 는 전기적 기계 결합상수,  $\rho$ 는 재료의 밀도,  $\epsilon$ 는 유전율,  $e$ 는 압전 stress 상수이다.

$$\frac{df}{dz} = -j\omega\rho A v_a \quad (1)$$

$$c \frac{du}{dz} = -\frac{1}{A} F + hD \quad (2)$$

$$(q = i/j\omega, D = q/A, h = e/\epsilon, u = v_a/j\omega)$$

$$\frac{d}{dz} \left( F - \frac{h}{j\omega} i \right) = -j\omega\rho A v_a \quad (3)$$

$$\frac{dv_a}{dz} = \frac{j\omega}{Ac} \left( F - \frac{h}{j\omega} i \right) \quad (4)$$

$$\frac{dV}{dz} = -LsI \quad (5)$$

$$\frac{dI}{dz} = -CsV \quad (6)$$

$$L = \rho A_z C = 1/(A_z c) \quad (7)$$

$$u_p = 1/(LC)^{1/2} = (c/\rho)^{1/2} \quad (8)$$

$$Z_0 = (LC)^{1/2} = A_z (\rho c)^{1/2} = \rho A_z u_p \quad (9)$$

$$Z = \rho v_a A \quad (10)$$

$$E = \frac{360dF}{v_a} \quad (11)$$

$$F = \frac{v_a \sqrt{\pi^{2-8} k_t^2}}{2\pi d_p} \quad (12)$$

유도된 식을 이용하여 Leach 등가모델을 그림 2에 나타내었고 이를 이용하여 air-gap 형의 공진기를 구성하여 시뮬레이션 하였다. 특히, 고주파 및 공진 특성을 알아보기 위해서 Advanced Design System (ADS)를 이용하여 FBAR의 두께와 면적에 의한 공진 주파수 특성을 확인하고 필요한 주파수 대역에서 공진이 일어나는 최적의 두께 및 면적 조건을 확인하였다.

그림 3은 대역통과 필터의 일반적인 형태인 ladder 형태이다. Ladder형은 원하는 주파수에 직렬 공진을 일으키는 직렬 FBAR와 병렬 공진을 일으키는 병렬 FBAR가 차례로 연결된 구조이다. [7,8] 본 논문에서는 2/1의 ladder 필터를 구성하여 대역 폭 및 대역 저지 등의 특성을 조사하였다.

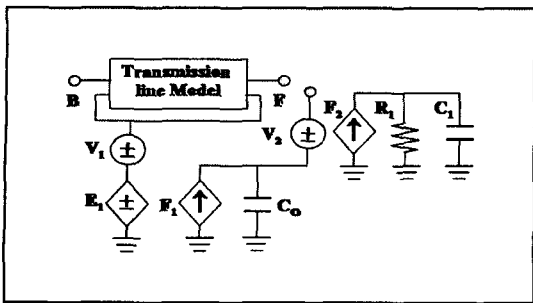


그림 2. Spice subcircuit for the thickness-mode transducer.

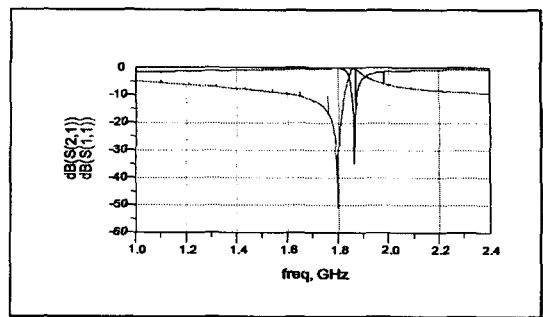


그림 4. Experimental data of S-parameters of ZnO with the area size  $150\mu\text{m}$ .

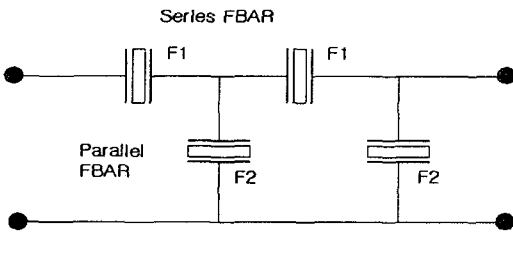


그림 3. Ladder형 FBAR 대역통과 필터.

### 3. 결과 및 고찰

이상적인 공진기를 설계하기 위해서 압전재료를 AlN과 ZnO를 사용하여 1.6GHz ~ 2.4GHz 주파수 영역에서 S-parameter 시뮬레이션하여 그 결과를 그림 4와 5에 나타냈다. 공진 주파수는 ZnO는 1.8GHz에서 AlN은 2.088GHz에서 일어났다. 2GHz에서 공진 주파수 특성에 AlN가 ZnO보다 근접한 결과를 볼 수 있었으며 Q값, 스커트 특성, 감쇄비 또한 우수한 결과를 나타냈다. 특히 ZnO는 공정시 Si으로의 deep level trap이 높은 증기압과 반도체 특성으로 인한 비교적 낮은 절연 내력과 wet-etching 시 낮은 화학적 내구성 등의 단점이 있기에 압전재료로 AlN가 실제 제작에 적합하다. 그 결과를 이용하여 AlN의 공진 면적을  $45\mu\text{m} \times 45\mu\text{m}$  ~  $250\mu\text{m} \times 250\mu\text{m}$ 로 바꾸어 시뮬레이션 하여 표 2에 그 결과를 나타냈다. 공진 주파수는 면적이 증가하여도 변화지 않았지만 삽입손실은 증가하는 결과를 볼 수 있다. 반면 감쇄비는 면적이 증가할수록 보다 좋은 결과를 나타냈다.

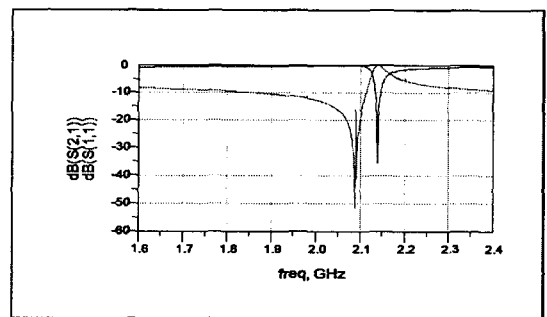


그림 5. Experimental data of S-parameters of AlN with the area size  $150\mu\text{m}$ .

표 2. Experimental data of results of AlN with the area size  $45\mu\text{m} \times 45\mu\text{m}$ ,  $110\mu\text{m} \times 110\mu\text{m}$ ,  $150\mu\text{m} \times 150\mu\text{m}$ ,  $200\mu\text{m} \times 200\mu\text{m}$ ,  $250\mu\text{m} \times 250\mu\text{m}$ .

Area [ $\mu\text{m} \times \mu\text{m}$ ]	Center Frequency [GHz]	Attenuation [dB]	Insertion Loss [dB]
$45 \times 45$	2.088	31.739	0.197
$65 \times 65$	2.088	36.041	4.110
$110 \times 110$	2.088	43.453	4.250
$150 \times 150$	2.088	46.283	8.288
$200 \times 200$	2.088	52.456	12.821
$250 \times 250$	2.088	53.305	16.561

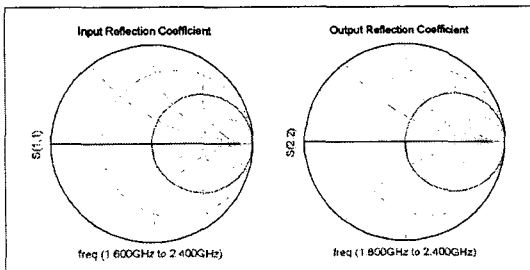


그림 6. Smith chart  $S_{11}, S_{22}$  with the area size  $150\mu\text{m}$ .

공진기의 이상적인 면적 설계를 알아보기 위해서 스미스 차트를 통해서 in-out 반사계수와 임피던스 결과 면적이  $150\mu\text{m}$ 일 경우 가장 우수한 결과가 나왔으며 그 결과를 그림 6에 나타냈다. 공진면적  $150\mu\text{m}$ 을 이용하여 2/1 필터를 설계하여 그림 7에 나타냈다. 대역폭은  $56\text{MHz}$ 정도이며 저지대역에서의 감쇄는  $16.8\text{dB}$ 이다 통과대역 특성이  $60\text{MHz}$ 에 미치지 못하는 것은 FBAR 자체의 대역폭이 적기 때문이다.

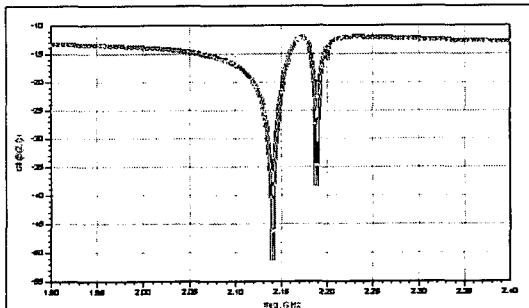


그림 7. Modeling result of 2/1 of  $S_{21}$  of AlN FBAR ladder filter with the area size  $150\mu\text{m}$ .

#### 4. 결 론

Air-gap형의 FBAR의 압전재료는 AlN이 우수하며 공진면적은  $150\mu\text{m}$ 일 때 이상적인 결과를 나타냈다. 그때의 공진주파수는  $2.088\text{GHz}$ 이다. Ladder 필터 설계는 직·병렬 공진기의 면적은 대역 in-out의 제거능력과 삽입손실 및  $3\text{dB}$  대역폭의 다양한 선택할 수가 있으므로 대역통과 필터의 제작을 위해서 추가적으로 회로 simulation 통해 Q와  $k_{eff}^2$ 을 비교함으로써 좋은 대역통과 필터가 제작 될 수 있다.

#### 감사의 글

이 논문은 경원대학교 IT 부품소재연구센터지원에 의한 것이며 이에 감사드립니다.

#### 참고 문헌

- [1] R. S. Naik, "Bragg Reflector Thin-film Resonators for Miniature PCS Bandpass Filters," Ph. D Thesis, at MIT, June . 1988
- [2] J. J. Lutsky, " A sealed cavity Thin-Film acoustic resonators process for RF bandpass filter," Ph. D Thesis Dept. of Electrical Engineering and Computer Science, MIT, Cambridge MA, 1997
- [3] V. M. Ristic, Principles of Acoustic Devices, John Wiley & Sons, pp 117-168, 1997
- [4] W. Marshall Leach, Jr., "Controlled-Sourcr Analogous Circuits and SPICE Models for Piezoelectric Transducers", IEEE Trans. on Ultrasonics, Ferroelectrics, and Frequency Control, Vol. 41, No. 1, p. 60-66, Jan, 1994
- [5] A. Ballato, J.G. Gualtieri and J.A. Kosinski, "Ferroelectric Materials for Thin film and Membrane Resonators," Proceeding of the Ninth IEEE International Symposium on Applications of Ferroelectrics, pp. 674 -679, 1994.
- [6] J. Kaitila, M. Ylilammi, J. Molarius, J. Ella, T. Makkonen, "ZnO Based Thin Film Bulk Acoustic Wave Filters for EGSM Band," 2001 IEEE Ultrasonics Symposium, pp. 803-806, 2001.
- [7] K. M Lakin, G. R. Kline, and K. T. MaCarron, "Development of miniature filters for wireless applications," presented at IEEE MTT-S Digest, 1995
- [8] Q. X. Su, P. B. Kirby, E. Komuro and R. W. Whatmore, "Edge Supported ZnO Thin Film Bulk Acoustic Wave Resonators and Filter Design", IEEE/EIA International Frequency Control Symposium and Exhibition, p. 434-440, 2000